V. 88, N 4

## JOURNAL OF APPLIED SPECTROSCOPY

JULY—AUGUST 2021

## МЕХАНИЗМ ФЛУОРЕСЦЕНЦИИ БИФЕНИЛЕНА

## В. А. Толкачёв

УДК 535.37

Институт физики НАН Беларуси, Минск, Беларусь; e-mail: tolkachev@ifanbel.bas-net.by

(Поступила 5 апреля 2021)

Показано, что частоты чисто электронных вибронных переходов с поглощением и испусканием между состояниями  $S_1$  и  $S_0$  у бифенилена существенно различаются. Из этого и известных фотофизических характеристик бифенилена следует, что механизм его флуоресценции вписывается в модель флуоресценции  $C_{2\nu}$ -симметричных цис-азоалканов, имеющей обменно-резонансную природу. Модель объясняет причины необычной интенсивности, полуширины, поляризации и преимущественного проявления полносимметричных колебаний спектра флуоресценции.

**Ключевые слова:** бифенилен (дифенилен), механизм флуоресценции, обменно-резонансная модуляция, поляризация флуоресценции, безызлучательный переход.

It is shown that the  $S_1 \leftrightarrow S_0$  pure-electron transition frequencies of absorption and emission essentially differ. From this and known photophysical characteristics of biphenylene it follows that its fluorescence mechanism fits into model of specific  $C_{2v}$  symmetrical cis-azoalkane fluorescence having exchange-resonant nature. The model explains the reasons for the unusual intensity, half-width, polarization, and predominant manifestation of completely symmetric vibrations in the fluorescence spectrum.

**Keywords:** biphenylene (diphenylene), fluorescence mechanism, exchange resonance modulation, fluorescence polarization, radiation transition.

Введение. В основном состоянии молекула бифенилена относится к антиароматической электронной структуре, в то время как ее электронно-возбужденные состояния ароматичны. Это дало повод называть ее "молекулой-хамелеоном". Механизм ее превращения описан в [1, 2], однако природа флуоресценции этого вещества до конца не понятна. Его основное и нижнее возбужденное синглетное состояния имеют одинаковую *g*-симметрию, и флуоресцентный переход запрещен, однако флуоресценция наблюдается. Предложены сложные, вызывающие сомнения варианты "заимствования" ее интенсивности и поляризации. Полуширина спектра флуоресценции завышена (~5000 см<sup>-1</sup>) для типичного спектра флуоресценции, спектр необычно длинноволновый. В настоящей работе положение длинноволнового синглетного 0–0-перехода бифенилена найдено с помощью метода его определения из диффузных вибронных спектров [3, 4]. Измеренные ранее в интервале температур 100—293 К спектры флуоресценции [5—8] дают совпадающую частоту 0–0-перехода растворов в циклогексане 22400 ± 100 см<sup>-1</sup> (включая погрешность оцифровки спектров). Однозначность определения перехода иллюстрирует спектр флуоресценции бифенилена [7] (рис. 1). При достаточно низкой температуре 130 К хорошо выражена колебательная структура, но 0–0-переход выделяется однозначно. Поляризация флуоресценции соответствует длинной оси молекулы [7].

Поскольку рассматриваемый переход запрещен правилами симметрии, измерение спектра поглощения существенно затруднено. Однако удалось измерить низкоинтенсивный длинноволновый край спектра поглощения четырьмя методами — линейным, в линейной анизотропии, в естественном и магнитоиндуцированном круговом дихроизме [9]. Несмотря на низкую интенсивность (в 0–0-

## MECHANIZM OF BIPHENYLENE FLUORESCENCE

**V. A. Tolkachev** (B. I. Stepanov Institute of Physics of the National Academy of Sciences of Belarus, Minsk, Belarus; e-mail: tolkachev@ifanbel.bas-net.by)

переходе  $\varepsilon$  ≈ 2), спектры растворов в циклогексане измерены хорошо и рис. 2 подтверждает положение частоты 0–0-перехода около 24000 см $^{-1}$ , совпадающей по трем спектрам. У комплекса с  $\beta$ -циклодекстрином в водном растворе 0–0-переход смещен на ~100 см $^{-1}$ , что естественно. Ранее при 4 К в смешанных кристаллах бифенилена в дифениле у бифенилена обнаружен слабый 0–0-переход при 24388 см $^{-1}$ , а у бифенилена во флуорене — при 24195 см $^{-1}$  [10]. При струйном охлаждении 0–0-переход у бифенилена расположен при 24550 см $^{-1}$  [11].

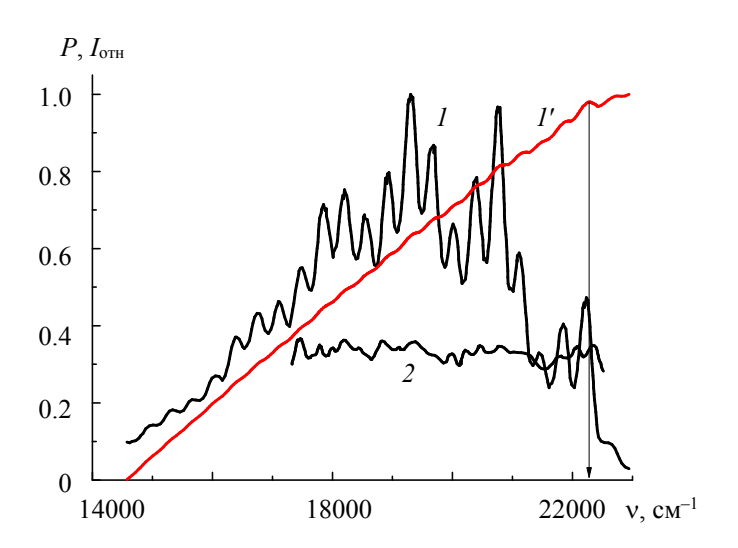


Рис. 1. Спектры флуоресценции (I) и поляризации флуоресценции P (2) бифенилена в циклогексане при 130 К [6], I' — логарифм функции, индицирующей 0–0-переход [3]

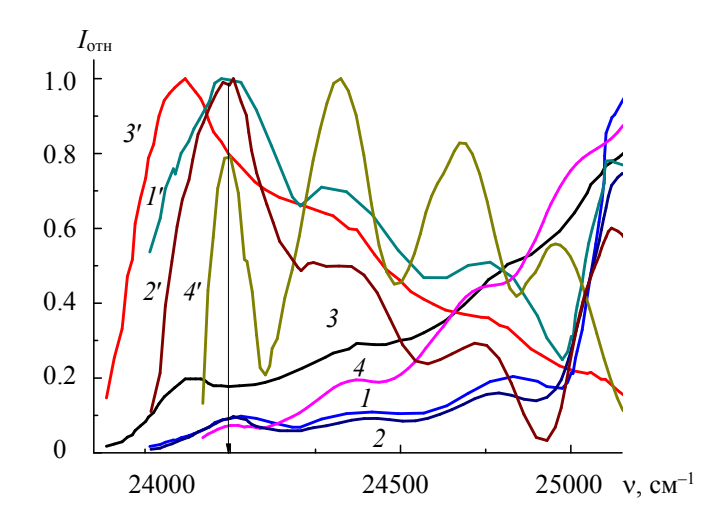


Рис. 2. Длинноволновый спектр поглощения бифенилена [8] и положение чисто электронного перехода (стрелка) для спектров: I — поглощения раствора в циклогексане; 2 — линейного дихроизма, параллельная длинной оси молекулы компонента ( $-140\,^{\circ}$ C); 3 — наведенного кругового дихроизма комплекса включения с  $\beta$ -циклодекстрином в водном растворе; 4 — магнитного кругового дихроизма раствора в циклогексане; I' — полученные из них логарифмы индицирующих 0—0-переход функций [3]

**Теория.** Различие 0–0-частот 24000 и 22400 см $^{-1}$  представляет собой проблему, решение которой не найдено в многочисленных работах по электронной спектроскопии бифенилена. Однако такой механизм флуоресценции бифенилена объясняется моделью, предложенной ранее для интерпретации специфической флуоресценции  $C_{2\nu}$  симметричных *цис*-диазоалканов [12]. В модели учтено, что оп-

ТОЛКАЧЁВ В. А.

тическое возбуждение несвязующего, локализованного на азоте электрона  $n \to \pi^*$ -переходом асимметрично остову и возбужденное состояние несет остаточную асимметрию [13]. Поэтому функция возбужденного состояния  $\Psi$  в данном случае представляется суммой двух асимметричных состояний — изначально образованного  $\phi$ + и симметричного ему относительно зеркальной плоскости симметрии  $\phi$ -. Обобщенная функция возбужденного состояния  $\Psi$  является их линейной комбинацией:

$$\Psi = a_1(t)\varphi_+ + a_2(t)\varphi_-.$$

Для  $\phi_+$  и  $\phi_-$  с условиями  $|a_1(t)|, |a_2(t)| \le 1$ ,  $<\psi \,|\, \psi> = <\phi_+ \,|\, \phi_+> = <\phi_- \,|\, \phi_-> = 1$  для изоэнергетического состояния молекулы с гамильтонианом H и энергией  $E = <\psi \,|\, H \,|\, \psi> = <\phi_+ \,|\, H \,|\, \phi_+> = <\phi_- \,|\, H \,|\, \phi_->$ , обменным интегралом  $M = <\phi_+ \,|\, H \,|\, \phi_-> = <\phi_- \,|\, H \,|\, \phi_+> \le E$  и интегралом перекрытия  $S = <\phi_+ \,|\, \phi_-> = <\phi_- \,|\, \phi_+> \le 1$ , не зависящими от времени, для уравнения Шрёдингера

$$i\hbar \frac{\partial \psi}{\partial t} = H\psi$$

ψ-функция возбужденного состояния молекулы приобретает вид:

$$\psi = 0.5(\varphi_{+} + \varphi_{-}) \exp \left[ -\frac{it}{\hbar} \left( E + \Delta E(1 - S) / 2 \right) \right] + 0.5(\varphi_{+} - \varphi_{-}) \exp \left[ -\frac{it}{\hbar} \left( E - \Delta E(1 + S) / 2 \right) \right],$$

$$\Delta E = 2(M - ES) / (1 - S^2), \ 2(M - ES)$$
 — обменный потенциал [12].

Обменное взаимодействие  $\phi_+$  и  $\phi_-$  конфигураций  $n,\pi^*$ -состояния приводит к образованию двух подуровней орбитальной системы электронов с расстоянием между ними  $\Delta E$ . Подуровни асимметричны относительно первичного уровня E возбужденного состояния и смещены относительно него: на  $\Delta E_+ = \Delta E(1-S)/2$  (верхний) и  $\Delta E_- = -\Delta E(1+S)/2$  (нижний). Симметрия их состояний параллельна и ортогональна зеркальной плоскости, поэтому при запрещенном оптическом переходе между верхним подуровнем и основным состоянием для нижнего переход уже разрешен и с поляризацией ортогональной плоскости симметрии [14]. Когда асимметрия системы электронных орбиталей возбужденного состояния незначительна, то  $\Delta E_+ \approx 0$ ,  $\Delta E_- \cong \Delta E$  и частота модуляции функции состояния нижнего подуровня близка к  $\Delta E/h$ .

Результаты и их обсуждение. Миграция асимметричной электронной орбитальной структуры возбужденного состояния обменно-резонансным туннелированием относительно плоскости симметрии  $C_{2y}$  приводит к образованию двух новых периодически модулированных электронных состояний этой структуры, проявляющихся спектроскопически как подуровни. Экспериментальная диагностика такой модели на молекулах цис-диазаалканов подтверждает неизменное в процессе затухания флуоресценции наличие двух поляризаций флуоресценции по спектру. Уменьшение ширины спектра флуоресценции у азаалканов с асимметричными заместителями объясняется нарушением зеркальной симметрии с увеличением барьера туннелирования, снижением частоты модуляции и уменьшением расщепления на указанные подуровни. Ситуация для бифенилена близка рассмотренной модели. В основном состоянии его молекула антиароматична и состоит из двух слабо связанных систем сопряженных электронов. Происходит одноэлектронное возбуждение только одной из них, поэтому, как и у азаалканов, можно ожидать остаточную асимметрию у ароматичного возбужденного состояния относительно плоскости симметрии, разделявшей ароматические фрагменты. Флуоресцентный переход у бифенилена запрещен по симметрии, но флуоресценция наблюдается, ее спектр даже при 100 К диффузный с колебательной структурой [6] (рис. 1). Однако асимметричные формы колебаний остова молекулы, как правило, препятствуют туннелированию и модуляции по рассмотренному механизму орбитальной возбужденной системы электронов. Поэтому молекулы с нарушающими симметрию остова несимметричными колебаниями возбужденного состояния должны преимущественно исключаться из рассмотренных подуровней и флуоресцентного перехода. Детальная расшифровка колебательной структуры спектра флуоресценции бифенилена [7] показывает подавляющее преимущество в нем полносимметричных колебаний. Как и различие частот чисто электронных переходов в поглощении и испускании и поляризация флуоресценции, это указывает на флуоресценцию бифенилена по механизму, наблюдаемому для цис-азаалканов [12, 14—16]. Данная модель улучшает понимание быстрых безызлучательных переходов у бифенилена. Они лучше идут в основное  $^{1}A_{g}$ -состояние из-за отмеченной выше насыщенности флуоресцентного состояния g-колебаниями.

**Заключение.** Проявление у бифенилена квантово-механического эффекта миграции орбитальной системы сопряженных электронов возбужденного состояния в симметричном поле остова ядер после локально асимметричного возбуждения, наблюдаемого для симметричных *цис*-диазаалканов, является, по-видимому, обычным механизмом в системах подобной структуры.

- [1] R. Ayub, O. E. Bakouri, K. Jorner, M. Sola, H. Ottoson. J. Org. Chem., 82 (2017) 6327—6340
- [2] L. Vannay, E. Bremond, P. de Silva, C. Corminboenf. Chem. Eur. J., 22 (2016) 18442—18449
- [3] **В. А. Толкачёв.** Журн. прикл. спектр., **84**, № 4 (2017) 648—654 [**V. A. Tolkachev.** J. Appl. Spectr., **84** (2017) 668—673]
- [4] В. А. Толкачёв. Докл. НАН Беларуси, 61, № 5 (2017) 50—55
- [5] T. Elsaesser, F. Laermer, W. Kaiser. Chem. Phys., 126 (1988) 405—416
- [6] J. Hertzberg, B. Nickel. Chem. Phys., 132 (1989) 235—242
- [7] B. Nickel, J. Hertzberg. Chem. Phys., 132 (1989) 219—234
- [8] A. Samanta, Ch. Devadoss, R. W. Fessenden. Chem. Phys. Lett., 169, N 5 (1990) 421—426
- [9] **H. Yamaguchi, M. Ata, J. F. W. McOmie, J. W. Barton, H. Baumann.** J. Chem. Soc., Faraday Trans. 2, **79** (1983) 599—609
- [10] R. M. Hochstrasser, R. D. McAlpine. J. Chem. Phys., 44 (1966) 3325—3328
- [11] **R. Zimmermann.** AIP Conf. Proc., **388** (1997) 399, doi: 10.63/1.52143
- [12] **В. А. Толкачёв.** Журн. прикл. спектр., **81**, № 4 (2014) 633—635 [**V. A. Tolkachev.** J. Appl. Spectr., **81** (2014) 688—691]
- [13] M. El-Sayed, G. W. Robinson. J. Chem. Phys., 35, N 5 (1961) 1896—1897
- [14] **А. П. Луговский, В. А. Поведайло, Д. Л. Яковлев.** Журн. прикл. спектр., **81**, № 3 (2014) 356—360 [**A. P. Lugovskii, V. A. Povedailo, D. L. Yakovlev.** J. Appl. Spectr., **81** (2014) 377—380]
- [15] **А. П. Луговский, В. А. Поведайло, В. А. Толкачев, Д. Л. Яковлев.** Опт. и спектр., **114**, № 3 (2013) 390—395
- [16] M. J. Mirbach, K.-Ch. Liu, M. F. Mirbach, W. R. Cherry, N. J. Turro, P. S. Engel. J. Am. Chem. Soc., 100, N 16 (1978) 5122—5129